

# Модель сложных сетей с придиричивостью

Zarvanskiy Igor, Snarskii

*NTUU KPI and*

*IPRI*

(Dated: May 01, 2014)

В статье рассматриваются безмасштабные сложные сети, в частности модель Барабаши-Альберта и  $(u,v)$ -цветки. Вначале статьи приводится модификация правила предпочтительного соединения - введение параметра “придиричивости”, которое применяется к классам безмасштабных сетей. Приводятся результаты численного моделирования предложенных моделей и рассматриваются значения различных характеристик моделируемых сетей. В результате было получено, что предложенные модели ведут себя аналогично фазовым переходам второго рода, рассчитано пороговое значение параметра “придиричивости”, при котором происходит фазовый переход.

## I. Введение

Значительное количество реальных сложных сетей являются безмасштабными сетями, такими, степени которых распределяются по степенному закону. К таким сетям относятся WWW-сети, сети метаболизма, сети питания (food webs), социальные сети и многие другие [4].

В настоящее время свойства таких безмасштабных сетей достаточно подробно изучено, установлены их сетевые характеристики (средняя степень узла, минимальный средний путь, коэффициент кластеризации и т.д.) [?]. Необходимо заметить, что сложные сети построенные согласно предположенным сценариям [1] являются идеализацией реальных сетей, характеристики которых могут иногда значительно отличаться от идеальных [?]. Тем не менее степенная зависимость степени узлов реальных сложных сетей встречается достаточно часто и особенно для тех сетей, которые образованы (возможно само организованными) развивающимся по времени процессом [?].

Одним из таких процессов, который начал изучаться задолго до появления понятия сложная сеть, был процесс распределения между людьми «богатства» (под которым можно понимать деньги, вложения, недвижимость...). В [7] Парето был установлен т. н. Закон Парето — степенное распределение богатства — когда, число людей  $\nu$ , владеющих  $\mu$  - долей богатства является степенной функцией  $\nu \sim \mu^{-\gamma}$ , при  $\gamma = \dots$  получается так, что 20% людей владеют 80% богатства, что часто называется законом 80/20.

В работе [2] был найден сценарий образования сложной сети, т. н. сценарий Барабаши-Альберт, со степенным законом распределения степеней узлов, основанном на двух принципиально важных положениях:

1. Сеть является растущей, начиная с некоторого затравочного числа узлов  $m_0$ , на каждом временном шаге появляется некоторое число новых узлов с  $n$  связями.
2. Вероятность подсоединения связей от нового узла к уже существующим прямо пропорциональна по степени.

Коротко говоря модель Барабаши-Альберт — это растущая сеть с предпочтительным подсоединением.

В дальнейшем появилось много модификаций алгоритма Барабаши-Альберт, в [1] их перечислено около 20-ти. Все они приводят к безмасштабным сетям с различным значением показателя степени распределения узлов по их степеням. На первый взгляд представляется, что растущая сеть с различным типом предпочтительного соединения обязательно вырастет в безмасштабную сеть.

В настоящей работе показано, что возможна такая, незначительная на первый взгляд, модификация закона предпочтительного соединения, при которой степенное распределение модели Барабаши-Альберт принципиально нарушается. В функции распределения при этом появляется провал, означающий отсутствие узлов сети для некоторого диапазона значений степени. Как показали подробные исследования, введенный параметр  $r$ , определяющий модификацию закона предпочтительного подсоединения, имеет пороговое значение  $r_c$ , так что при  $r < r_c$  сеть остается безмасштабной сетью, а при  $r \geq r_c$  появляется провал. Величина провала степенным образом зависит от близости параметра  $r$  к своему пороговому значению, что позволяет говорить об аналогии с фазовым переходом второго рода.

Модификация закона подсоединения также была нами опробована на детерминированных иерархичных безмасштабных сетях, т. н. детерминированных (u,v)-flowers [3]. При этом также наблюдалось нарушение степенной функции распределения аналогично фазовым законам второго рода.

## II. Модель Барабаши-Альберта с придирчивостью

### A. Алгоритм Барабаши-Альберта

Рассмотрим растущую сеть. В стандартном варианте модели Барабаши-Альберт [2] на первом шаге по времени существует  $m_0$  узлов связанных между собой. На каждом следующем шаге возникает  $m$  новых узлов с  $q$  связями.  $p_i$  - вероятность подсоединения (создание связи между узлами) нового узла к уже существующему узлу  $i$  пропорциональна по степени (числу связей узла  $i$ ) -  $k_i$ :

$$p_i = \frac{k_i}{\sum_j k_j}, \quad (1)$$

где суммирование происходит по всем “старым” узлам.

Такой алгоритм, при большом числе шагов по времени приводит к степенной функции распределения степеней  $P(k)$ :

$$P(k) \sim k^{-\gamma}, \quad (2)$$

с показателем  $\gamma = 3$  [2].

В [1] приведено много модификаций правила предпочтительного подсоединения, которые приводят к различным значениям показателя  $\gamma$ . Однако сама степенная зависимость (2) остается.

## В. Модификация алгоритма Барабаши-Альберта

Здесь мы предлагаем обобщение модели, основанной на правиле предпочтительного соединения, введенного Барабаши-Альберт. Новое правило предпочтительности будем для краткости называть подсоединением с “придирчивостью”(exceptive). Согласно этой модели вводится новый параметр exceptive -  $r$ , принимающий значения в диапазоне  $(0, 1)$ . В том случае, когда выбор подсоединения новой связи выпал на узел  $i$  со степенью  $k_i$ , подсоединение происходит с вероятностью  $p_i$ , но только в том случае, когда выполняется условие:

$$p_i = \frac{k_i}{\sum_j k_j}, \quad k_i \geq r \langle k \rangle, \quad (3)$$

где  $\langle k \rangle$  – среднее значение степени узлов в сети на момент присоединения,  $\langle k \rangle = \sum_j k_j / N$ .

Введение дополнительного условия (3) в процессе роста сети отсекает часть узлов (делает их невалидными), то есть к ним в данный момент не может присоединиться новая связь. Необходимо заметить, что если в данный момент времени некий узел не удовлетворяет условию (3), это еще не значит, что в следующие моменты времени к нему не смогут присоединиться новые узлы. Валидность или невалидность узла меняется со временем, так как с течением времени изменяется значение  $\langle k \rangle$ .

## С. Функция распределения степеней узлов

При значении параметра придирчивости  $r = 0$  предлагаемая модель переходит в стандартную модель Барабаши-Альберт. Удивительным является наличие порогового значения параметра придирчивости  $r_c$ . При значении параметра придирчивости меньше некоторого порогового  $r_c$ , то есть при  $r < r_c$  функция распределения степеней узлов  $P(k)$  остается степенной, а сама сеть, тем самым, безмасштабной сетью. При значениях параметра придирчивости больше порогового значения  $r \geq r_c$  сеть меняет свою структуру, а именно в сети исчезают узлы со «средним» количеством связей, что мы можем увидеть на рис. 1(а).

Определим пороговое значение параметра придирчивости. Для этого рассчитаем пороговое значение для сети в 100 узлов, а дальше с шагом в 100 узлов будем увеличивать размер сети до 2000 узлов, при этом будем усреднять значения по 10 экспериментам. Для сети в 100 узлов  $r_c = 0.62$ , далее происходит насыщение  $r_c$ . Для сети в 1100 узлов  $r_c$  полностью насыщается и мы получаем  $r_c = 0.51$ . В последующих расчетах мы будем использовать  $r_c = 0.51$ .

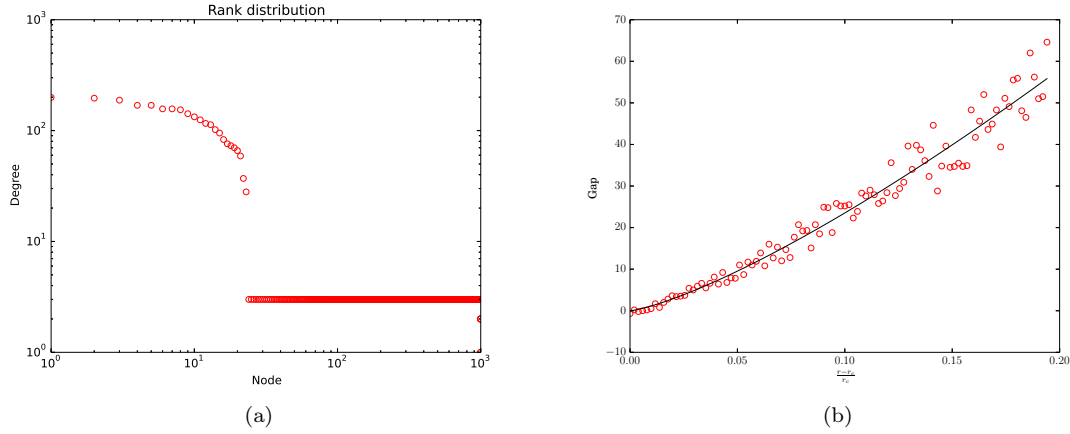


Рис. 1. (a) Ранжированное распределение сети при  $r = 0.6$ . По горизонтальной оси отложено порядковый номер узла, по вертикальной оси отложена степень узла. (b) Величина разрыва при увеличении  $r$  от  $r_c$  до  $r_c + 0.01$  с шагом 0.001. По горизонтальной оси отложено  $\frac{r-r_c}{r_c}$ , по вертикальной оси отложено значение величины разрыва.

Введем новую характеристику сети - величину разрыва  $\eta$  рис. 1(a), расстояние между узлами, ближайшими к разрыву (разница значений степени узла до разрыва и после разрыва). Величина разрыва, указывает по вертикальной оси те значения степеней узлов, которые отсутствуют.

Как следует из численного моделирования, поведение параметра  $\eta$  аналогично поведению параметра порядка в теории фазовых переходов второго рода [5]. Как известно, параметр порядка  $\eta$ , например намагниченность, при приближении температуры к критическому значению  $T_c$  уменьшается степенным образом  $\eta \sim (r - r_c)^\beta$ , где  $\beta$  - критический индекс. При проведении численного эксперимента были выбраны следующие начальные параметры: количество узлов  $N = 5000$ , начальное количество узлов  $m_0 = 20$ , количество связей у каждого нового узла  $m = 3$ .

На рис. 1(b) показана полученная зависимость  $\eta = A \cdot (r - r_c)^\beta$ , где  $\beta \sim 1.3$

#### D. Коэффициент кластеризации, ассортативность, минимальное среднее расстояние, величина разрыва

Появление разрыва  $\eta$  в распределении степеней узлов  $P(k)$  свидетельствует о значительном изменении структуры сети, что не может не сказаться на её характеристиках. Ниже рассмотрено поведение  $C$  - коэффициента кластеризации,  $A$  - ассортативности и  $l$  - минимального среднего расстояния, как функции коэффициента придричивости  $r$ , при  $r \geq r_c$ . Как показал численный эксперимент для сети с  $N = 5000$  узлов, коэффициент кластеризации  $C$ , ассортативность  $A$ , минимальное среднее расстояние  $l$  при  $r < r_c$  от  $r$  не зависит и равна  $C_0 \approx 0.01$ ,  $l_0 \approx 3.98$ ,  $A_0 \approx -0.096$ , что, как и должно быть, совпадает с расчетами приведенными в [1, 6].

При увеличении  $r$  от  $r_c$  до  $r_c + 0.01$  с шагом 0.001 коэффициент кластеризации увеличивается от 0.04 до 0.14, ассортативность уменьшается от  $-0.3$  до  $-0.6$ , среднее минимальное расстояние уменьшается от 3.5 до 2.9 (согласно рис. 2(a)). Для нормализации зависимости возьмем отношение параметра к его значению при  $r < r_c$ , а также приведем зависимости к возрастающим функциям:  $A = \frac{A}{A_0}$ ,  $C = \frac{C}{C_0}$ ,  $l = -\frac{l}{l_0}$ .

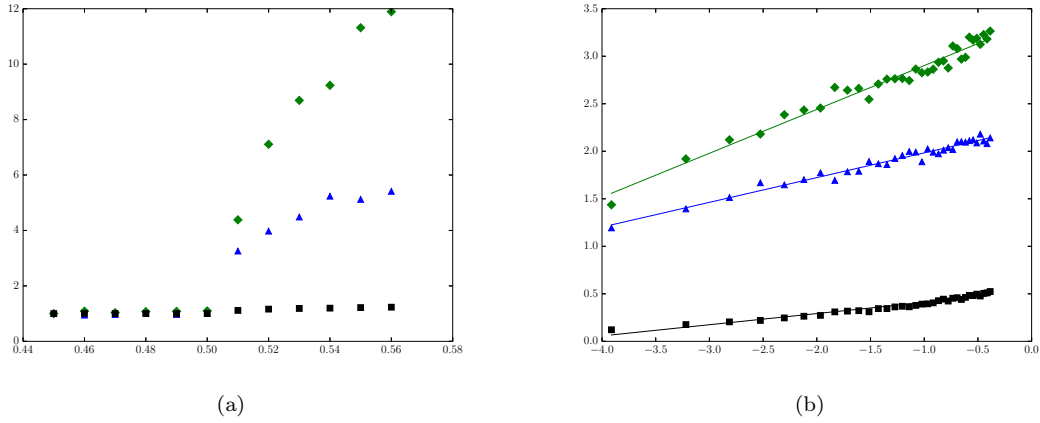


Рис. 2. По горизонтальной оси отложено значение параметра придиричивости, по вертикальной оси отложено значение соответствующей характеристики. (а) Изменение кластеризации,ассортативности, минимального среднего пути при  $r = [0, 45; 0, 56]$  с шагом 0.01. (б) Изменение кластеризации,ассортативности, минимального среднего пути при  $r = [0, 5; 0, 56]$  с шагом 0.001. В двойном логарифмическом масштабе.

При  $r \geq r_c$  такая зависимость появляется, и она оказывается степенной, а именно  $C \sim (r - r_c)^\alpha$ ,  $A \sim (r - r_c)^\gamma$ ,  $l \sim (r - r_c)^\sigma$ , где  $\alpha \approx 0.46155027$ ,  $\gamma \approx 0.26025569$ ,  $\sigma \approx 0.11761072$  (2(b)).

### Е. Матрица смежности для сети с придиричивостью

Рассмотрим матрицу смежности  $A_{ij}$  для сети с придиричивостью. Для удобства нумерации узлов в матрице смежности будем вести в порядке спадаения количества связей. То есть  $k_i = \sum_j A_{ij}$  не возрастает с увеличением  $i$ .

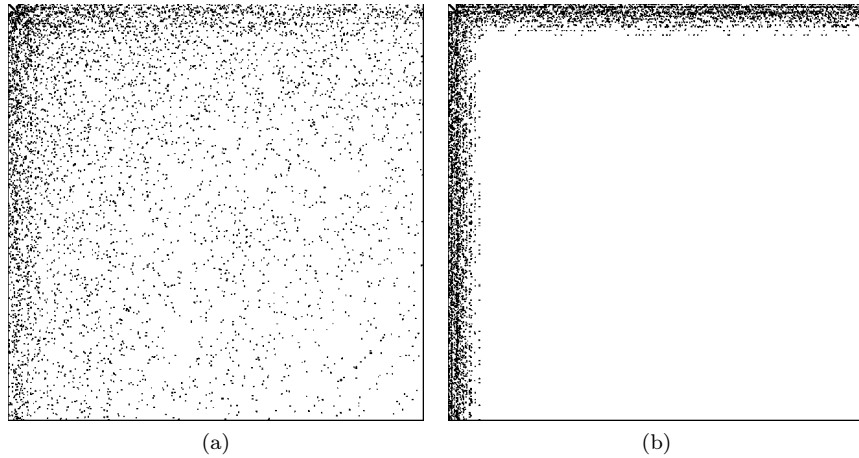


Рис. 3. Матрица смежности для сети с  $N = 5000$  узлов: (а) при  $r = 0.0$  (б) при  $r = 0.6$

Изменение структуры сети при  $r \geq r_c$  отражается и на виде матрицы смежности. Для сети с  $N = 5000$  были построены две матрицы смежности: для  $r < r_c$  - рис. 3(а) и для  $r > r_c$  - рис. 3(б). Для удобства элементы матрицы смежности  $A_{ij} = 1$  отображены в виде черной точки. Обе матрицы были ранжированы, то есть узлы сети пронумерованы в порядке спадаения количества связей  $k_i$ . Из рис. 3(б) можно заметить, что в матрице смежности при  $r > r_c$  в правом нижнем углу появляется значительная квадратная область, заполненная 0, то есть теми парами узлов, которые не связаны друг с другом. Эта область, как показывает исленный эксперимент, прямопропорционально зависит от величины  $r$ .

Таким образом такие характеристики сети, как коэффициент кластеризации, ассортативность, среднее минимальное расстояние ведут себя аналогично “параметру порядка”  $\eta$ .

### III. Иерархические сети (U,V)-FLOWERS с придиричностью

Кроме случайных безмасштабных сетей, построенных по алгоритму Барабши-Альберта(и их обобщений), известен класс простых детерминированных сетей, которые также являются безмасштабными сетями [9] - Fractal and Transfractal Recursive Scale-Free Networks. В частности это так называемые (u,v)-flowers, рис. 4.

Ниже мы обобщим модель Fractal and Transfractal Recursive Scale-Free сетей, введя фактор “придиричности”  $r$  и случайность в закон роста сети. Как оказывается в этом случае поведение характеристик сети аналогично фазовому переходу.

#### A. Алгоритм (u,v)-flowers

Детерминированные растущие SF-сети, называемые (u,v)-flowers и (u,v)-trees были предложены и исследованы в [3, 8, 9].

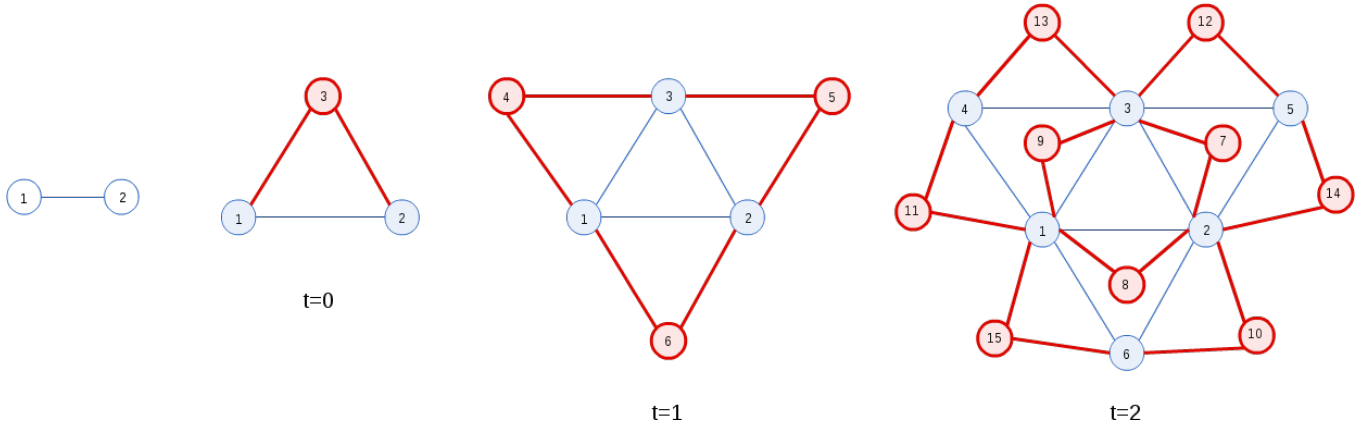


Рис. 4. Схема построения (1,2)-flowers на шагах  $t = 0, 1, 2$ . Утолщенные(красные online) - узлы появившиеся на данном шаге, не утолщенные (синие online) - узлы, которые появились на предыдущих шагах.

Нумерация узлов вообще говоря может быть любой, однако, в рассматриваемом примере можно занумеровать узлы таким образом (рис. 4), что матрица смежности  $A_{ij}$  станет наиболее простой. Под простой  $A_{ij}$  мы, в данном случае, понимаем такую ее структуру, что наибольшее число наибольших квадратных областей  $N \times N$  в нем остаются пустыми.

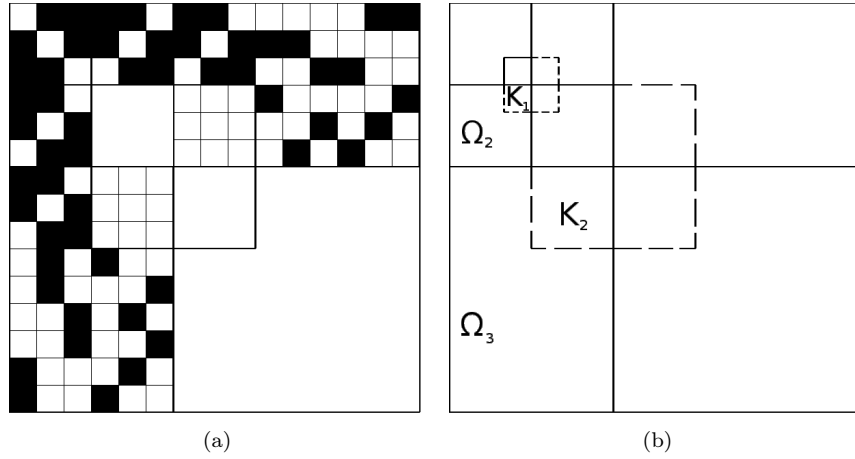


Рис. 5. Матрицы смежности для 3-го шага (1,2)-flower: (a) матрица смежности сети с выбранной нами нумерацией (b) схематическое представление

На рис. 5 -  $N \times N$  матрица смежности, где черным обозначены элементы матрицы с  $A_{ij} = 1$ . На первом шаге матрица смежности  $\hat{A}$  состоит из  $3 \times 3$  элементов (верхний левый угол, шаг  $t = 0$  на рис. 4). На втором шаге к ней добавляются новые элементы, и матрица состоит из  $6 \times 6$  элементов (шаг  $t = 1$  на рис. 4). На третьем шаге добавляются новые элементы, и матрица состоит из  $15 \times 15$  элементов (шаг  $t = 2$  на рис. 4). Как видно из рис. 5 правый нижний квадрат первого шага свободный от связей и состоит из одного элемента. На втором шаге добавляется правый нижний квадрат, состоящий из  $3 \times 3$  элементов, а на третьем из  $9 \times 9$  элементов. На рис. 5 белым обозначены места матрицы смежности, где  $A_{ij} = 0$ .

При выбранной нами нумерации появляются дополнительные к построению матрицы смежности в работе [3] области  $K_1$ ,  $K_2$ , в которых также  $A_{i,j} = 0$ .

На каждом шаге  $t$  имеется  $N_t$  узлов и  $L_t$  связей [8]

$$N_t = (u + v) \cdot N_{t-1} - (u + v), \quad L_t = (u + v)^t \quad (4)$$

Т.е. на каждом шаге  $t$  появляется  $N_t - N_{t-1}$  узлов и  $L_t - L_{t-1}$  связей. Например, рис. 4, на шаге  $t = 1$  появляется 3 узла и 6 связей.

Сделаем замену  $(u + v) = w$  и раскроем рекуррентные формулы 4 [8]:

$$N_t = \frac{w-2}{w-1} \cdot w^t + \frac{w}{w-1}, \quad L_t = w^t \quad (5)$$

На каждом шаге  $t$  есть  $\Omega_t$  клеток, которые могут быть заполнены – рис. 5. Их число равно:

$$\begin{aligned} \Omega_t &= (N_t - N_{t-1}) \cdot N_t - N_{t-2}^2 = \frac{w^3 - w^2 - 1}{w^4} N_t^2 + \frac{w^3 - 2w^2 - 2w - 2}{w^3} N_t - \frac{2w^2 + 2w + 1}{w^2} = \\ &= \frac{w^{2t+4} - 5w^{2t+3} + 8w^{2t+2} - 5w^{2t+1} + 4w^{2t} + w^{t+5} - 3w^{t+4} + 4w^{t+2} - w^5}{w^3 \cdot (w-1)^2} \end{aligned} \quad (6)$$

Вероятность заполнения ячейки матрицы равна:

$$W_t = \frac{L_t - L_{t-1}}{\Omega_t} = \frac{w^{t+5} - 3w^{t+4} + 3w^{t+3} - w^{t+2}}{w^{2t+4} - 5w^{2t+3} + 8w^{2t+2} - 5w^{2t+1} + 4w^{2t} + w^{t+5} - 3w^{t+4} + 4w^{t+2} - w^5} \quad (7)$$

Так с каждым шагом вероятность падает и матрица смежности становится все более разреженной. В [3] было показано, что (u,v)-flowers являются безмасштабными сетями. Для изображенного на рис. 4 (1,2)-flower распределение узлов по степеням имеет вид  $P(k) \sim k^{-(1+\frac{\ln 3}{\ln 2})}$ . В общем случае для (u,v)-flowers [8]

$$P(k) \sim k^{-\alpha}, \quad \alpha = 1 + \frac{\ln(u+v)}{\ln 2} \quad (8)$$

## В. Модификация алгоритма (u,v)-flowers

Рассмотрим теперь ситуацию, когда при построении (u,v)-flower не все связи реализуются. При чем вероятность нереализованности связи тем больше, чем меньше степени узлов она соединяет.

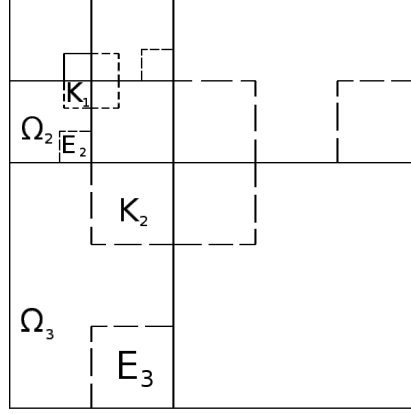


Рис. 6. Схема матрицы смежности для 3-го шага (1,2)-flower.

Компьютерное моделирование проводилось путем заполнения в матрице смежности областей  $\Omega_1, \Omega_2 \dots$  с соответствующим им количеством связей  $L_t$ . Таким образом “придирчивость” в матрице смежности отображается правыми нижними углами областей  $\Omega$ . При  $r > 0$  в правых нижних углах областей  $\Omega$  появляются пустые области. В нашем моделировании мы использовали пустые области  $E_t$  5. Тогда вероятность заполнения ячейки матрицы:

$$W_t = \frac{L_t - L_{t-1}}{\Omega_t - E_t} \quad (9)$$

$$E_t = (r \cdot N_{t-1}) \times (r \cdot (N_t - N_{t-1})) \quad (10)$$

## С. Функция распределения степеней узлов

При значении параметра придирчивости  $r = 0$  предлагаемая модель принимает вид стандартной (u,v)-flowers. Как и в случае с моделью Барабаши-Альберта, в модели (u,v)-flowers присутствует пороговое значения параметра придирчивости  $r_c$ . При значении параметра придирчивости меньше некоторого порогового  $r < r_c$  функция распределения степеней узлов  $P(k)$  остается степенной, а сама сеть, тем самым, безмасштабной сетью. При значениях параметра придирчивости больше порогового значения  $r \geq r_c$  сеть меняет свою структуру.

Определим пороговое значение параметра придирчивости. Для этого рассчитаем пороговое значение для (u,v)-flowers с 1 по 14 поколение, при этом будем усреднять значения по 50 экспериментам. Как и в модели Барабаши-Альберта с придирчивостью происходит насыщение порогового значения. Для восьмого поколения  $r_c$  полностью насыщается и мы получаем  $r_c = 0.6$ . Необходимо отметить, что при  $r \geq 0.6$  происходит изменение структуры и характеристик сети, однако видимый разрыв появляется при  $r \geq 0.8$ , что мы можем увидеть на рис. 7(b)



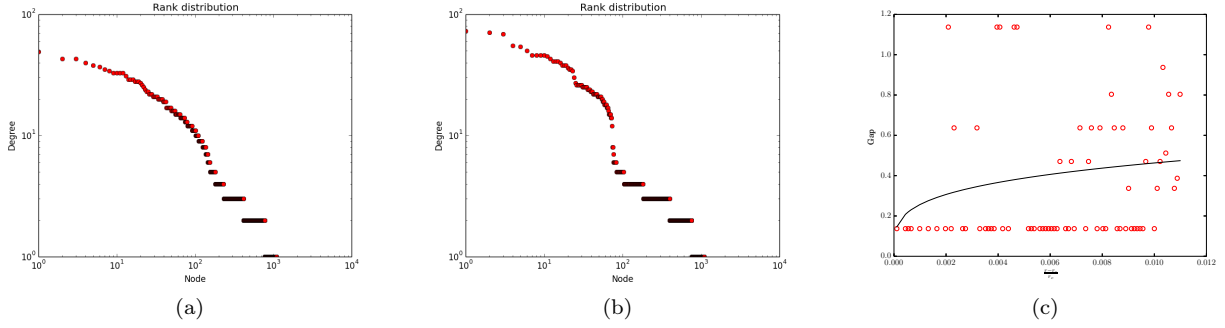


Рис. 7. (a) Ранжированное распределение сети при  $r = 0.6$ . По горизонтальной оси отложено порядковый номер узла, по вертикальной оси отложена степень узла. (b) Ранжированное распределение сети при  $r = 0.8$ . По горизонтальной оси отложено порядковый номер узла, по вертикальной оси отложена степень узла. (c) Величина разрыва при увеличении  $r$  от  $r_c$  до  $r_c + 0.2$  с шагом 0.01. По горизонтальной оси отложено  $\frac{r - r_c}{r_c}$ , по вертикальной оси отложено значение величины разрыва.

Как следует из численного моделирования, поведение параметра  $\eta$  аналогично поведению параметра порядка в теории фазовых переходов второго рода [5]. Параметр порядка  $\eta$  при приближении к критическому значению уменьшается степенным образом  $\eta \sim (r - r_c)^\beta$ , где  $\beta$  – критический индекс. При проведении численного эксперимента были выбраны следующие начальные параметры: (1,2)-flowers восьмого поколения, то есть количество узлов  $N = 3282$ .

На рис. 7(c) показана полученная зависимость  $\eta = A \cdot (r - r_c)^\beta$ , где  $\beta \sim$

#### D. Коэффициент кластеризации, ассортативность, минимальное среднее расстояние, величина разрыва

Ниже рассмотрено поведение  $C$  - коэффициента кластеризации,  $A$  - ассортативности и  $l$  - минимального среднего расстояния, как функции коэффициента придричивости  $r$ , при  $r \geq r_c$ . Как показал численный эксперимент для сети (1,2)-flowers восьмого поколения с  $N = 3282$  узлов, коэффициент кластеризации  $C$ , ассортативность  $A$ , минимальное среднее расстояние  $l$  при  $r < r_c$  от  $r$  не зависит и равна  $C_0 \approx 0.02$ ,  $l_0 \approx 4.05$ ,  $A_0 \approx -0.18$ , что, как и должно быть, совпадает с расчетами приведенными в [8, 9].

При увеличении  $r$  от  $r_c$  до  $r_c + 0.1$  с шагом 0.01 коэффициент кластеризации увеличивается от 0.02 до 0.04, ассортативность уменьшается от  $-0.18$  до  $-0.39$ , среднее минимальное расстояние уменьшается от 4.0 до 3.65 (согласно рис. 8(a)). Для нормализации зависимости возьмем отношение параметра к его значению при  $r < r_c$ , а также приведем зависимости к возрастающим функциям:  $A = \frac{A}{A_0}$ ,  $C = \frac{C}{C_0}$ ,  $l = -\frac{l}{l_0}$ .

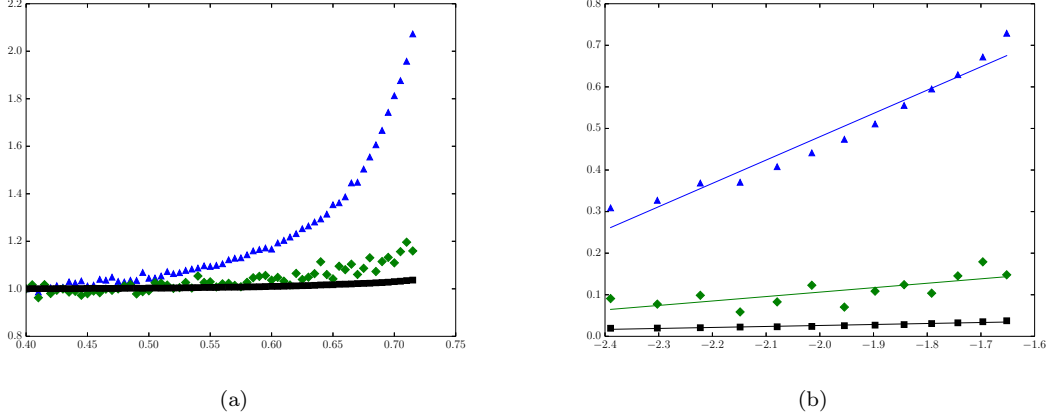


Рис. 8. По горизонтальной оси отложено значение параметра придиричивости, по вертикальной оси отложено значение соответствующей характеристики. (а) Изменение кластеризации,ассортативности, минимального среднего пути при  $r = [0, 4; 0, 72]$  с шагом 0.01. (б) Изменение кластеризации,ассортативности, минимального среднего пути при  $r = [0, 6; 0, 65]$  с шагом 0.005. В двойном логарифмическом масштабе.

При  $r \geq r_c$  такая зависимость появляется, и она оказывается степенной, а именно  $C \sim (r - r_c)^\alpha$ ,  $A \sim (r - r_c)^\gamma$ ,  $l \sim (r - r_c)^\sigma$ , где  $\alpha \approx 0.1066595$ ,  $\gamma \approx 0.56066486$ ,  $\sigma \approx 0.0237942$  (8(b)).

#### IV. Заключение

В статье предложено модифицированное правило предпочтительного присоединения, а именно присоединение с “придиричивостью”, применительно к классам безмасштабных сетей - модель Барабаши-Альберта и (u,v)-цветки. Модификация правила предпочтительного присоединения заключается в введении параметра “придиричивости”, который в процессе роста сети отсекает часть узлов (делает их невалидными), то есть к ним в данный момент не может присоединиться новая связь.

Компьютерное моделирование показало, что в моделируемых классах сетей происходят существенные структурные изменения. Введение новой характеристики сети - величины разрыва, и расчет уже известных характеристик, таких как коэффициент кластеризации, ассортативности и среднее наименьшее расстояние между узлами, позволили сделать вывод о том что в моделируемых классах сетей происходит фазовый переход второго рода. Было вычислено пороговое значение при котором происходит фазовый переход, а также определено, что введенная характеристика “величина разрыва” пропорциональна параметру порядка.

Полученные результаты возможно применить для построения экономических моделей.

#### V. Литература

- [1] R. Albert and A.-L. Barabási. Statistical mechanics of complex networks. *Reviews of Modern Physics*, 74:47–97, 2002.
- [2] A.-L. Barabási, R. Albert, and H. Jeong. Mean-field theory for scale-free random networks. *Physica A*, 272:173–187, 1999.
- [3] S. N. Dorogovtsev, A. V. Goltsev, and J. F. F. Mendes. Pseudofractal scale-free web. *Physical Review E*, 65, 2002.
- [4] S. N. Dorogovtsev and J. F. F. Mendes. Evolution of networks. *Advances in Physics*, 51:1079–1187, 2002.
- [5] L. D. Landau. On the theory of phase transitions. *Zh. Eksp. Teor. Fiz.* 7, page 19–32, 1937.
- [6] M. E. J. Newman. Assortative mixing in networks. *Physical Review Letter*, 89, 2002.
- [7] Vilfredo Pareto. *Manual of political economy*. Augustus M Kelley Pubs, 1969.
- [8] Hernan D. Rozenfeld and Daniel ben Avraham. Percolation in hierarchical scale-free nets. *Physical Review E*, 75, 2007.
- [9] Hernan D. Rozenfeld, Shlomo Havlin, and Daniel ben Avraham. Fractal and transfractal recursive scale-free nets. *New Journal of Physics*, 9:175, 2007.